

CHAPITRE 6 : ONDE TRANSMISE PAR UN OBJET DIFFRACTANT PLAN

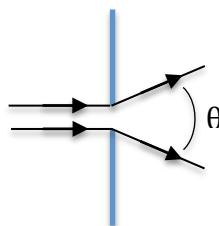
| Notions et contenus | Capacités exigibles |
|--|---|
| 5.- Onde transmise par un objet diffractant plan éclairé par une onde plane sous incidence normale. | |
| Réseau unidimensionnel d'extension infinie de coefficient de transmission $t(X)$ sinusoïdal et de pas supérieur à la longueur d'onde. Plan de Fourier. | Construire l'onde transmise par superposition de trois ondes planes définies par la condition aux limites sur le réseau. Interpréter les observations dans le plan de Fourier. |
| Mire unidimensionnelle d'extension latérale infinie de N traits parallèles équidistants. Fréquence spatiale. | Relier une fréquence spatiale du spectre de la mire à la position d'un point du plan de Fourier. Relier l'amplitude de l'onde en ce point à la composante du spectre de Fourier correspondant. Interpréter les observations dans le plan de Fourier. |
| Fente rectiligne de coefficient de transmission uniforme. | Relier une fréquence spatiale du spectre de la fente à la position d'un point du plan de Fourier. Relier l'amplitude de l'onde en ce point à la composante du spectre de Fourier correspondant. Interpréter les observations dans le plan de Fourier. Faire le lien avec la relation $\sin \theta = \lambda/a$ vue en première année. |
| Filtrage optique | Utiliser l'analyse de Fourier pour interpréter les effets d'un filtrage de fréquences spatiales dans le plan de Fourier . |

1. Diffraction à l'infini :

Lorsqu'une onde de longueur d'onde λ se propage dans un milieu dont les dimensions sont d'ordre de grandeur de λ , elle peut subir de la **diffraction** : la direction de propagation est modifiée par le diaphragme rencontré.

Pour une onde se propageant selon une direction Ox , un diaphragme de dimension a dans une direction perpendiculaire à Ox provoque une diffraction dans un cône d'ouverture θ tel que :

$$\sin \theta = 2\lambda/a.$$



Ce phénomène s'observe avec tous les types d'ondes, dès que a est comparable à λ .

2. Réseau unidimensionnel sinusoïdal :

2.1. représentation complexe d'une onde plane :

On considère une onde plane monochromatique se propageant selon Oz.
Son amplitude instantanée s'écrit :

$$s(x,y,z,t) = a_0 \cdot \exp(j(\omega t - kz))$$

En utilisant le vecteur d'onde $\vec{k} = k \cdot \vec{u}_z$ on peut écrire :

$$s(x,y,z,t) = a_0 \cdot \exp(j(\omega t - \vec{k} \cdot \vec{r}))$$

Cette forme se généralise à toute direction de propagation dirigée par le vecteur \vec{k} .

2.2. Coefficient de transmission d'un objet mince plan (ou transmittance):

L'onde plane tombe en incidence normale sur un objet diffractant mince plan situé dans le plan $z = 0$.

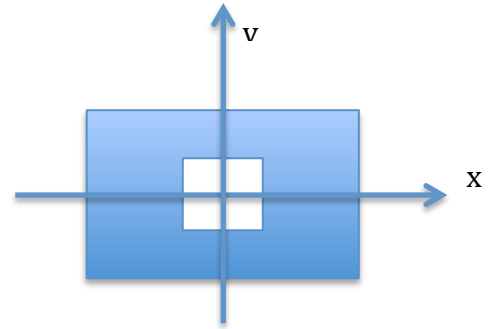
Définition : le coefficient de transmission est :

$$t(x,y) = s(x,y,0^+,t)/s(x,y,0^-,t).$$

Remarque : les transmittances considérées dans le cours de PC sont réelles ; les objets sont appelés objets d'amplitude.

Exemple : trou carré de coté a :

- $t(x,y) = 1$ pour $-a/2 < x < a/2$ et $-a/2 < y < a/2$
- $t(x,y) = 0$ ailleurs



2.3. Mire sinusoïdale ; fréquences spatiales :

On considère une mire sinusoïdale de coefficient de transmission :

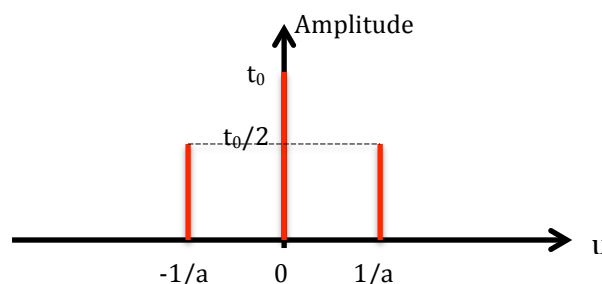
$$t(x) = t_0 \left(1 + \cos \left(2\pi \frac{x}{a} \right) \right) = t_0 \left(1 + \frac{1}{2} \exp(j 2\pi \frac{x}{a}) + \frac{1}{2} \exp(j -2\pi \frac{x}{a}) \right)$$

La période spatiale du réseau sinusoïdal est a., la fréquence spatiale fondamentale est $u_0 = 1/a$.

L'écriture complexe du coefficient de transmission montre qu'il peut être décomposé en trois fréquences spatiales :

- Une fréquence nulle d'amplitude t_0 ;
- Une fréquence $1/a$ d'amplitude $t_0/2$;
- Une fréquence $-1/a$ d'amplitude $t_0/2$;

Ces composantes constituent le **spectre de Fourier complexe** de $t(x)$.



2.4. Amplitude diffractée :

On suppose $a > \lambda$, et le réseau invariant par translation selon y , ainsi s ne dépend pas de y .

On constate **expérimentalement** l'existence de trois faisceaux diffractés, de vecteurs d'onde :

$$\vec{k}_0; \vec{k}_1 \text{ et } \vec{k}_{-1}$$

L'onde diffractée par le réseau s'écrit donc :

$$\underline{s}(x, z, t) = A_0 \cdot \exp j(\omega t - \vec{k}_0 \vec{r}) + A_1 \cdot \exp j(\omega t - \vec{k}_1 \vec{r}) + A_{-1} \cdot \exp j(\omega t - \vec{k}_{-1} \vec{r}) \quad (1)$$

L'amplitude diffractée par un point du réseau en $z=0^+$ s'écrit en notation complexe :

$$\underline{s}(x, y, 0^+, t) = a_0 \cdot t(x) \cdot \exp j(\omega t)$$

$$\Leftrightarrow s(x, 0^+, t) = a_0 \cdot t_0 \left(1 + \frac{1}{2} \exp j \left(2\pi \frac{x}{a} \right) + \frac{1}{2} \exp j \left(-2\pi \frac{x}{a} \right) \right) \cdot \exp j(\omega t) \quad (2)$$

L'amplitude est continue en $z = 0^+$; on déduit donc de (1) et (2) :

$$\begin{cases} \vec{k}_0 \cdot \vec{u}_x = 0; \vec{k}_1 \cdot \vec{u}_x = \frac{2\pi}{a}; \vec{k}_{-1} \cdot \vec{u}_x = -\frac{2\pi}{a} \\ A_0 = t_0 \cdot a_0; A_1 = A_{-1} = \frac{1}{2} t_0 \cdot a_0. \end{cases}$$

De plus, les trois ondes vérifient la même équation de dispersion dans le vide, donc :

$$\|\vec{k}_0\| = \|\vec{k}_1\| = \|\vec{k}_{-1}\| = \frac{2\pi}{\lambda}$$

Ainsi, l'onde transmise est la somme de trois ondes de vecteurs d'onde :

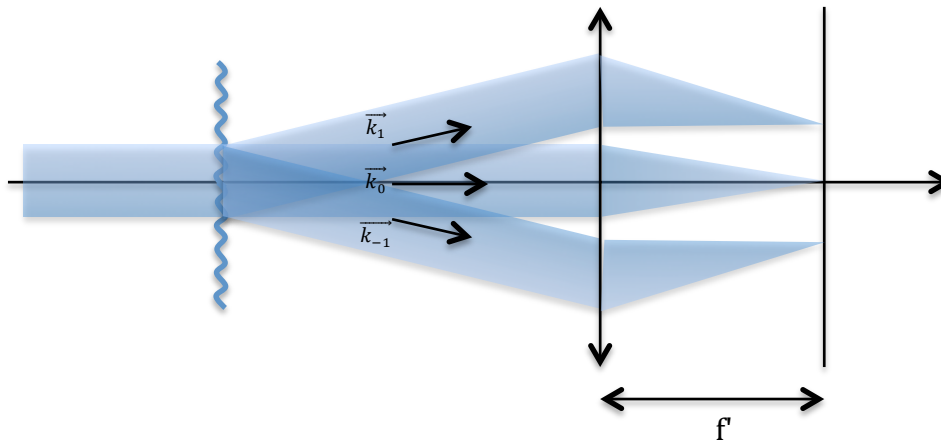
$$\vec{k}_0 = \frac{2\pi}{\lambda} \vec{u}_z; \vec{k}_1 = \frac{2\pi}{a} \vec{u}_x + 2\pi \sqrt{\frac{1}{\lambda^2} - \frac{1}{a^2}} \vec{u}_z; \vec{k}_{-1} = -\frac{2\pi}{a} \vec{u}_x + 2\pi \sqrt{\frac{1}{\lambda^2} - \frac{1}{a^2}} \vec{u}_z$$

On en déduit l'angle formé par les faisceaux diffractés :

$$\sin(\theta_0) = 0; \sin(\theta_1) = \frac{\lambda}{a}; \sin(\theta_{-1}) = -\frac{\lambda}{a}$$

2.5. Plan de Fourier :

Les ondes émergentes étant planes, on observe les images de diffraction dans le plan focal d'une lentille convergente ; ce plan est le **plan de Fourier**.



Dans le plan de Fourier on observe donc une répartition lumineuse déterminée par le spectre de Fourier complexe du coefficient de transparence $t(x)$:

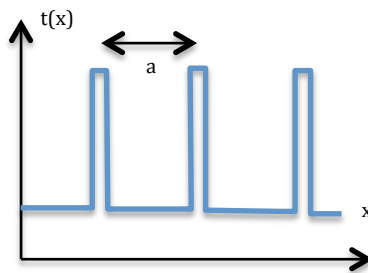
- les directions des ondes planes correspondant aux taches sont liées aux fréquences spatiales $n.u$ par :

$$\sin(\theta_n) = n \cdot \lambda \cdot u_0 \text{ avec } n = 0, -1, \text{ ou } 1$$
- Les intensités lumineuses correspondant à ces directions sont proportionnelles au carré des composantes de la décomposition de Fourier complexe de $t(x)$.

3. Mire unidimensionnelle d'extension latérale infinie de N traits parallèles équidistants :

3.1. Coefficient de transmission :

L'objet diffractant est un réseau dont la transmission $t(x)$ est :



Cet objet se décompose en une superposition de mires sinusoïdales identiques à celle qui vient d'être étudiée.

$$\begin{aligned}
 t(x) &= t_0 + \sum_{n=1}^{\infty} t_n \cdot \cos\left(2\pi n \frac{x}{a} + \varphi_n\right) = \sum_{n=0}^{\infty} t_n \cdot \cos\left(2\pi n \frac{x}{a} + \varphi_n\right) \\
 &= \sum_{n=0}^{\infty} \frac{t_n}{2} \cdot [\exp j(2\pi n u x + \varphi_n) + \exp -j(2\pi n u x + \varphi_n)] \\
 &= \sum_{n=-\infty}^{\infty} \frac{t_n}{2} \cdot \exp j(2\pi n u x + \varphi_n)
 \end{aligned}$$

3.2. Onde diffractée :

L'onde diffractée est la somme d'ondes de vecteurs d'onde :

$$\vec{k}_0 = \frac{2\pi}{\lambda} \vec{u}_z; \quad \vec{k}_1 = \frac{2\pi}{a} \vec{u}_x + 2\pi \sqrt{\frac{1}{\lambda^2} - \frac{1}{a^2}} \vec{u}_z; \quad \vec{k}_2 = \frac{2\pi}{a} \vec{u}_x - 2\pi \sqrt{\frac{1}{\lambda^2} - \frac{1}{a^2}} \vec{u}_z, \dots$$

et plus généralement :

$$\vec{k}_n = \frac{2\pi}{a} \vec{u}_x + 2\pi \sqrt{\frac{1}{\lambda^2} - \frac{n^2}{a^2}} \vec{u}_z; \quad \vec{k}_{-n} = -\frac{2\pi}{a} \vec{u}_x + 2\pi \sqrt{\frac{1}{\lambda^2} - \frac{n^2}{a^2}} \vec{u}_z$$

On constate que le nombre d'ondes diffractées est limité par la condition :

$$\frac{1}{\lambda^2} - \frac{n^2}{a^2} > 0$$

$$\Leftrightarrow |n| < \frac{a}{\lambda}$$

On observe dans le plan de Fourier une répartition lumineuse centrée sur l'image géométrique ($\theta=0$) correspondant aux différentes fréquences spatiales :

- les taches lumineuses correspondent aux directions:
 $\sin(\theta) = n \lambda/a = n \cdot u_0 \cdot \lambda$
- leurs intensités lumineuses sont proportionnelles à $(t_n)^2$; elles décroissent avec n .

3.3. Application au réseau plan :

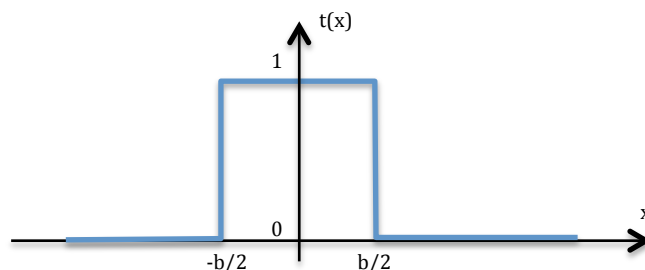
Un réseau plan par transmission est une mire unidimensionnelle composée de N traits parallèles et équidistants de pas a .

Pour une incidence normale, on observe des maxima d'éclairement dans les directions telles que :
 $\sin(\theta) = n \lambda/a$ avec n entier relatif.

Dans le cas du réseau, par analogie avec les interférences, n est appelé **ordre**.

4. Fente rectiligne de coefficient de transmission uniforme :

L'objet diffractant est une fente de largeur b dont le coefficient de transmission $t(x)$ est :



Cet objet peut s'interpréter comme la mire précédente dont le pas tendrait vers l'infini : la fréquence spatiale u tend alors vers zéro, et $t(x)$ se décompose en une superposition **continue** de mires sinusoïdales :

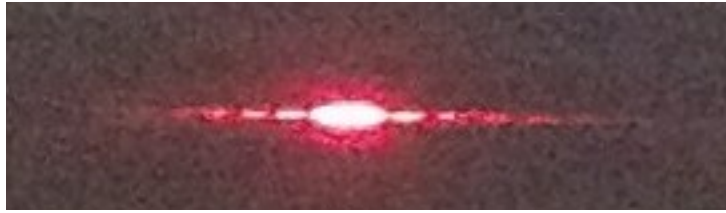
$$t(x) = \int_{-\infty}^{+\infty} t(u) \cdot \exp(j(2\pi ux + \varphi(u))) \cdot du$$

Remarque : cette opération s'appelle la transformée de Fourier de $t(u)$.

Lorsque la fente est éclairée en incidence normale, on observe dans le plan de Fourier une

- Une fréquence spatiale u donne une tache dans la direction d'angle θ telle que :

$$\sin(\theta) = u \cdot \lambda$$
- l'amplitude dans la direction θ est proportionnelle à $t(u)$.



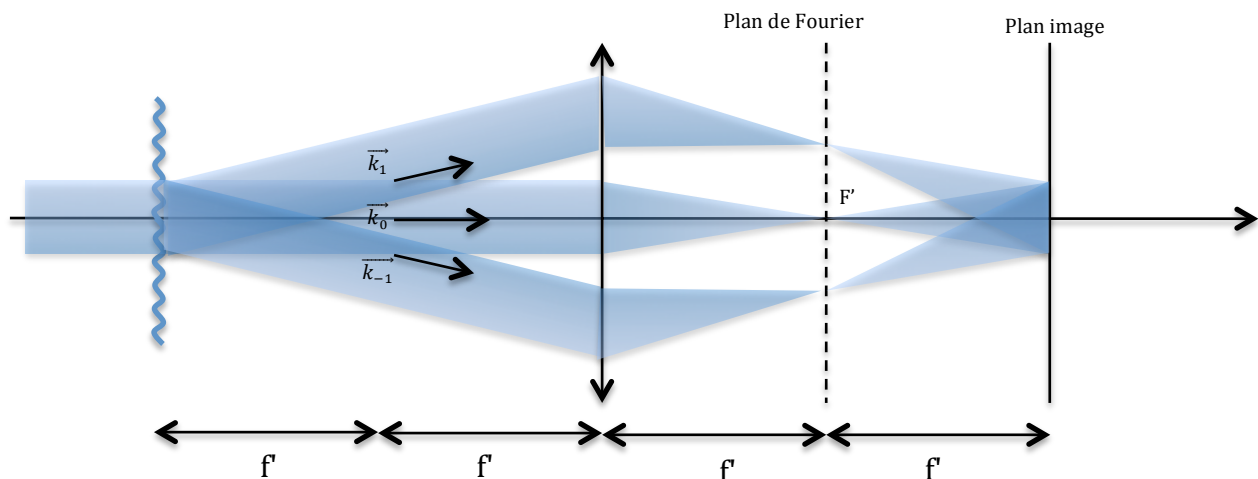
Dans le plan de Fourier on observe une tache principale de diffraction d'autant plus large que la fente est fine conformément à la relation admise en première année :

$$\sin(\theta_{\max}) = \lambda/b$$

5. Application au filtrage optique :

Le montage utilise une lentille convergente permettant de faire l'image géométrique de la mire diffractante sur un écran ; le spectre de Fourier est observé dans le Fourier.

Le montage suivant est appelé montage 4-f :



On place un diaphragme dans le plan de Fourier pour filtrer l'image :

- Une fente centrée en F' se comporte comme un **filtre passe-bas** et l'image sur l'écran a une intensité lumineuse uniforme.
- Un cache au point F' correspond à un **filtre passe-haut** : la fréquence spatiale $u = 0$ n'est plus visible.